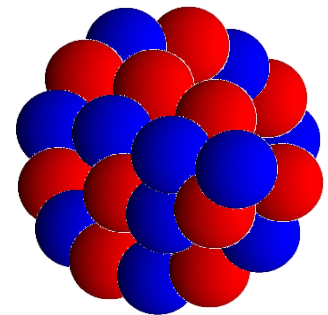


原子核物理基礎論A

原子核理論研究室(物2) 萩野浩一

シラバス

- 北沢 {
1. はじめに(原子核の基本的性質)(2コマ)
 2. 核力とその起源(2コマ)
 3. クォークとハドロン(2コマ)
 4. 核物質の相図と状態方程式(1コマ)
- 萩野 {
5. 殻模型と魔法数(2コマ) **+核力**
 6. 平均場理論と核変形(2コマ)
 7. 原子核の対相関(2コマ)
 8. 中性子過剰核の物理(1コマ)



核子多体系の量子力学

シラバス(基礎論A)

北沢

1. はじめに(原子核の基本的性質)(2コマ)
2. 核力とその起源(2コマ)
3. クォークとハドロン(2コマ)
4. 核物質の相図と状態方程式(1コマ)

萩野

5. 殻模型と魔法数(2コマ) **+核力**
6. 平均場理論と核変形(2コマ)
7. 原子核の対相関(2コマ)
8. 中性子過剰核の物理(2コマ)

主に基底状態

シラバス(基礎論B)

萩野

1. 原子核の集団運動(2コマ)
2. 集団運動の微視的理解(2コマ)
3. 原子核反応論基礎(1コマ)
4. 非束縛核の物理: 共鳴状態について(1コマ)
5. 超重元素の物理(1コマ)
6. 以降、日高(QCD, 高エネルギー重イオン衝突、有限温度・有限密度の場の理論)

主に励起状態
と核反応

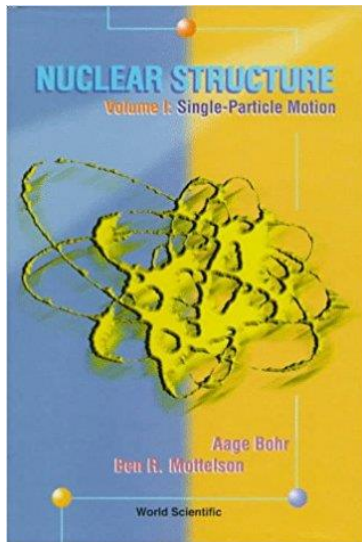
後半は
北沢→日高

成績： レポート(7問程度)80%、出席など20%

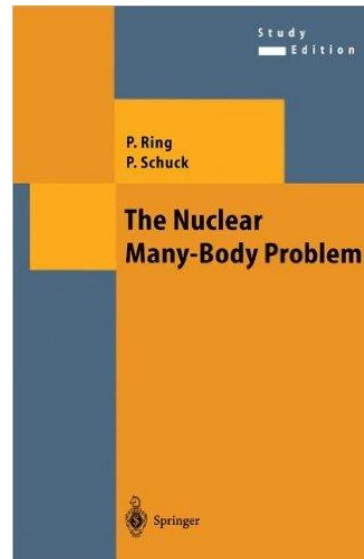
質問： 授業中に適宜聞いて下さい。

講義資料：萩野浩一HPで公開

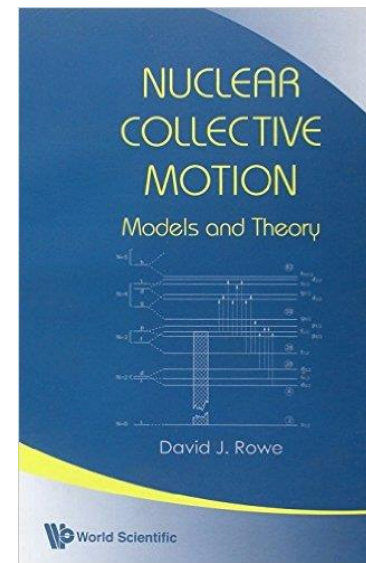
参考書



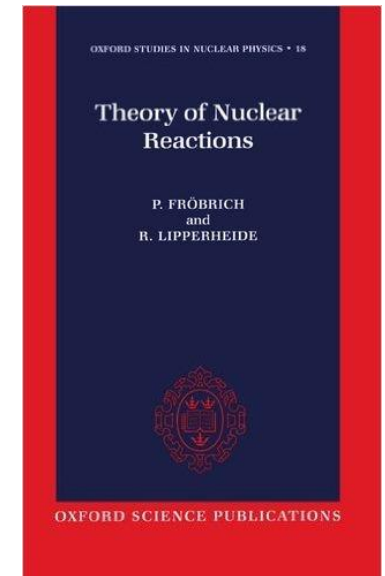
Bohr-Mottelson



Ring-Schuck

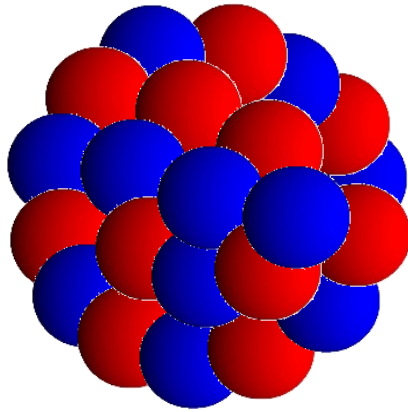


Rowe



Frobrich
-Lipperheide

はじめに：核子多体問題について



原子核 = 陽子と中性子の多体系

多体のハミルトニアン

$$H = \sum_i T_i + \underbrace{\sum_{i < j} v_{ij}}_{\text{2体力}} + \underbrace{\sum_{i < j < k} v_{ijk}}_{\text{3体力}}$$

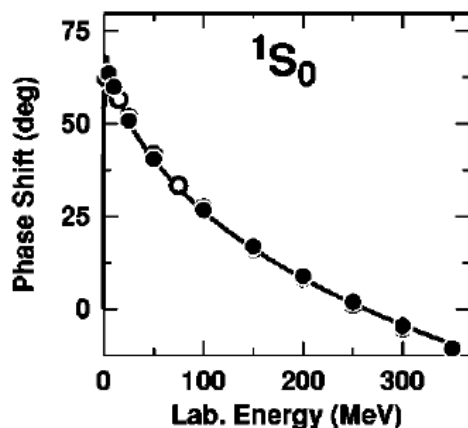
このハミルトニアンを核子間のパウリ原理を考慮して
どのように(近似的に)解くのか？

はじめに：核子多体問題について

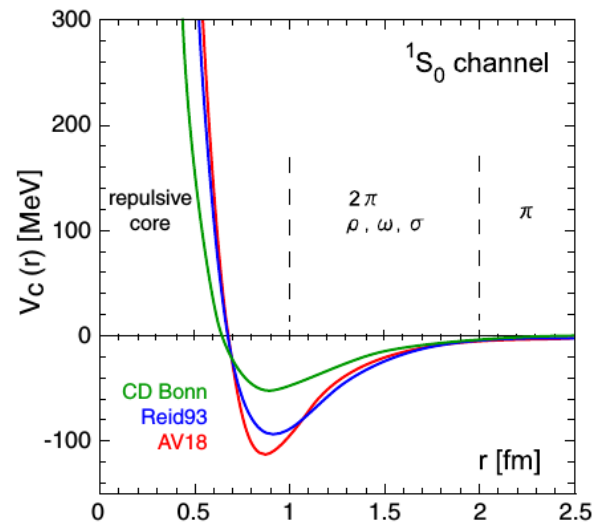
$$H = \sum_i T_i + \underbrace{\sum_{i < j} v_{ij}}_{\text{2体力}} + \underbrace{\sum_{i < j < k} v_{ijk}}_{\text{3体力}}$$

2体力(この後詳しく):

核子・核子散乱実験



現象論的ポテンシャル

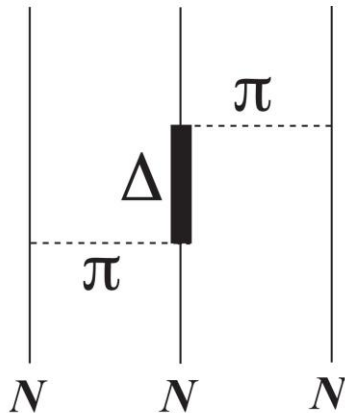


最近では、格子QCDに基づく核力ポテンシャルも

はじめに：核子多体問題について

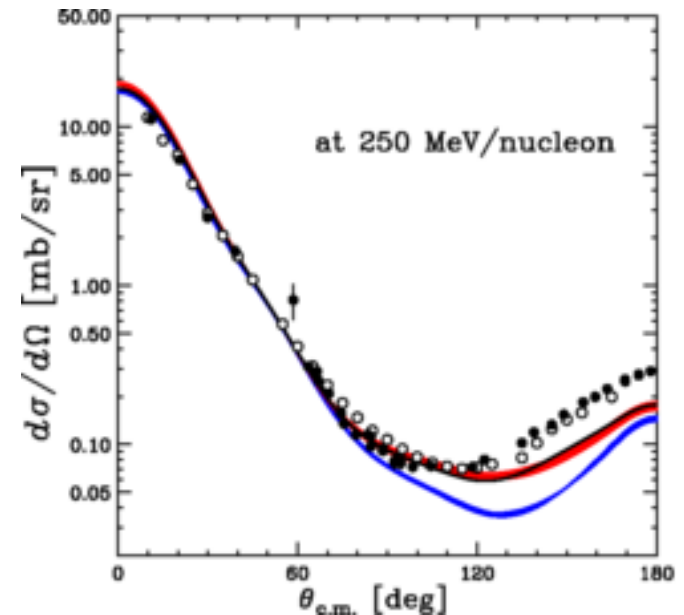
$$H = \sum_i T_i + \underbrace{\sum_{i < j} v_{ij}}_{\text{2体力}} + \underbrace{\sum_{i < j < k} v_{ijk}}_{\text{3体力}}$$

3体力:

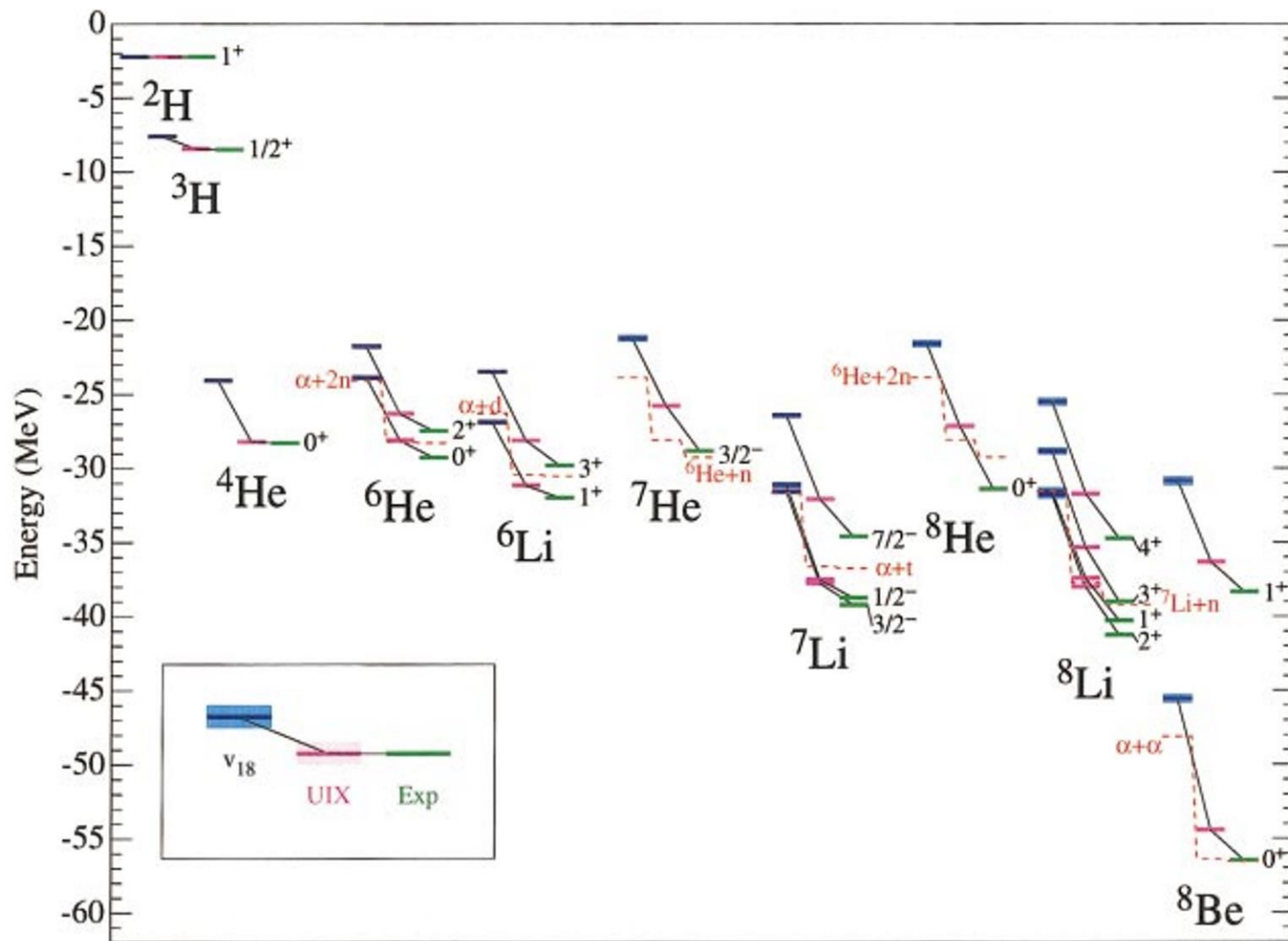


藤田・宮沢型ポテンシャル(1957年)

p(d,d)p and n(d,d)n



軽い原子核の基底状態エネルギーに対する 第一原理計算(グリーン関数モンテカルロ法)と実験データの比較



S.C. Pieper et al., Phys. Rev. C64, 014001 (2001)

2体核力について

np 散乱の位相のずれ
の実験データ

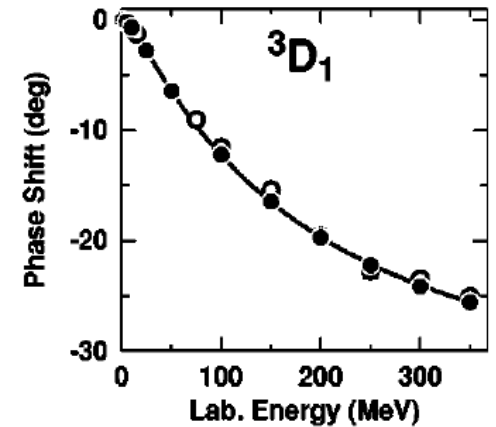
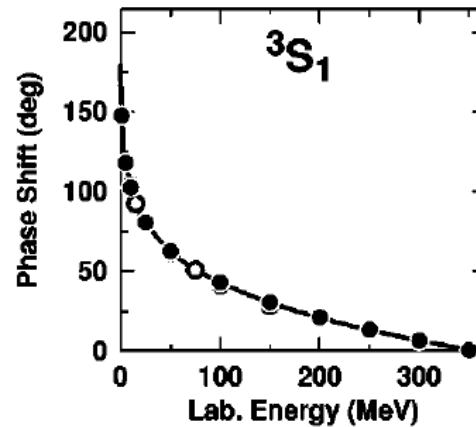
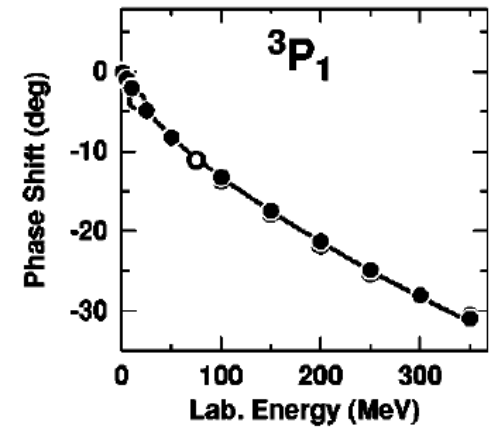
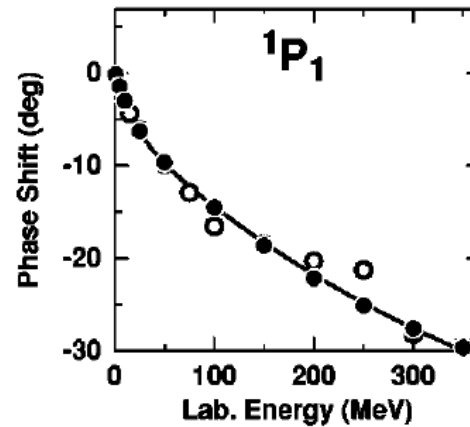
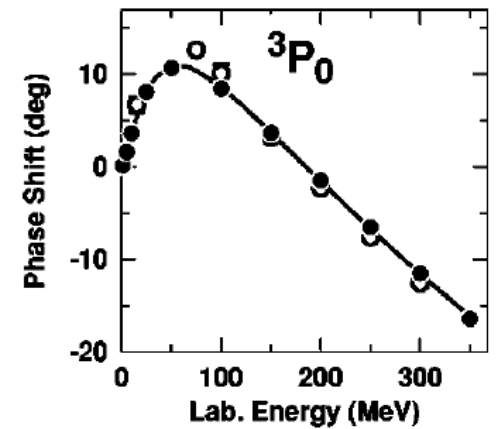
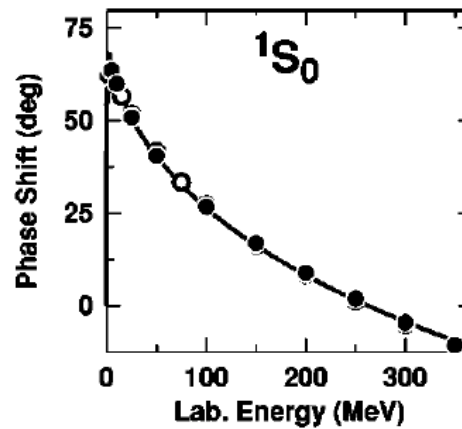
R. Machleidt,
PRC63, 024001('01)

ノーテーション

$$2S+1L_J$$

| $S \backslash T$ | 0 | 1 |
|------------------|-------|-------|
| 0 | 1O | 1E |
| 1 | 3E | 3O |

強いスピン・アイソスピン
依存性



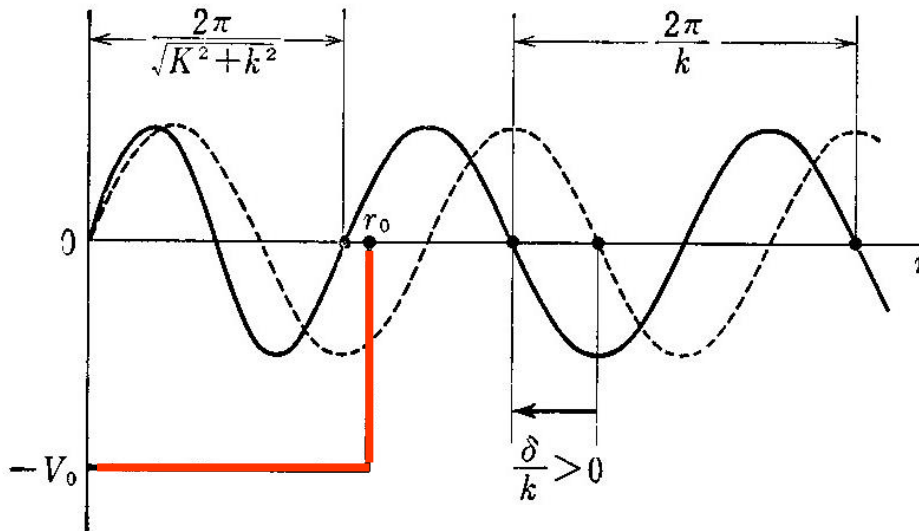
位相のずれ:

Radial wave function $\Psi_l(r) = \frac{u_l(r)}{r} Y_{lm}(\hat{r})$

$$\left[-\frac{\hbar^2}{2m} \frac{d^2}{dr^2} + V(r) + \frac{l(l+1)\hbar^2}{2mr^2} - E \right] u_l(r) = 0$$

遠方での漸近形:

$$u_l(r) \rightarrow \sin\left(kr - \frac{l\pi}{2} + \delta_l\right) \quad (r \rightarrow \infty)$$



(a) 引 力

ボルン近似では:

$$\delta_l \sim -\frac{2mk}{\hbar^2} \int_0^\infty r^2 dr V(r) j_l(kr)^2$$

\uparrow
 $\sin \delta_l \sim \delta_l$

核力について

np 散乱の位相のずれ
の実験データ

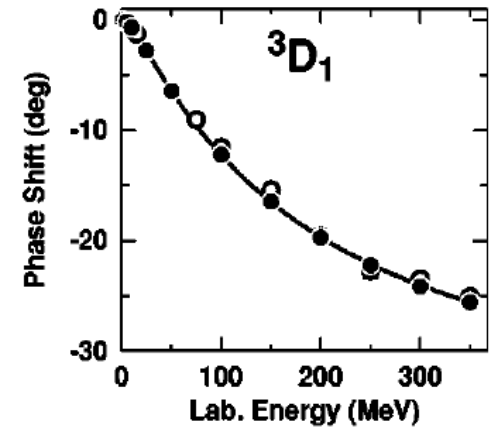
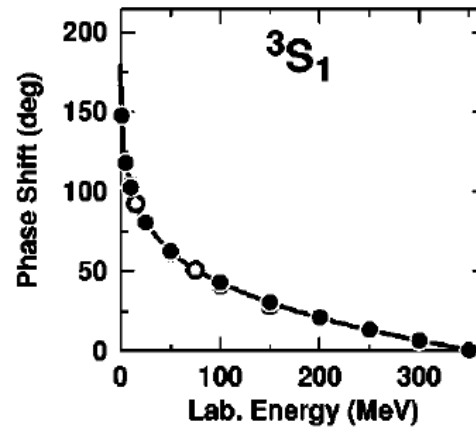
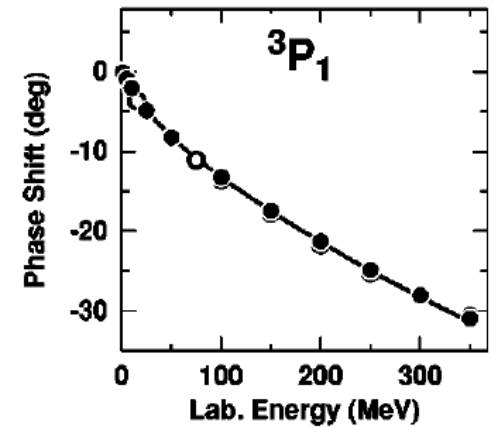
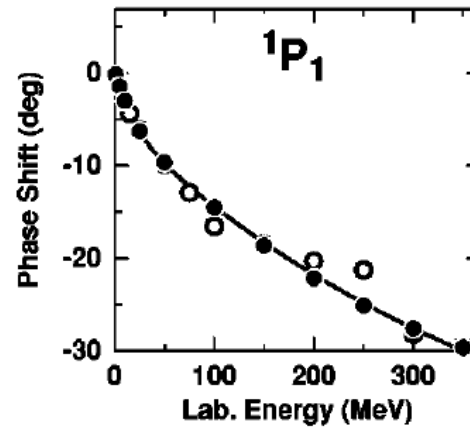
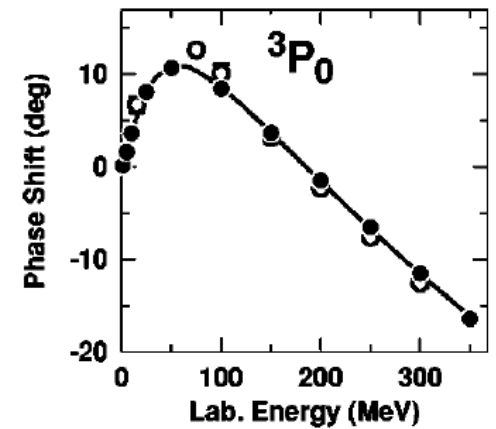
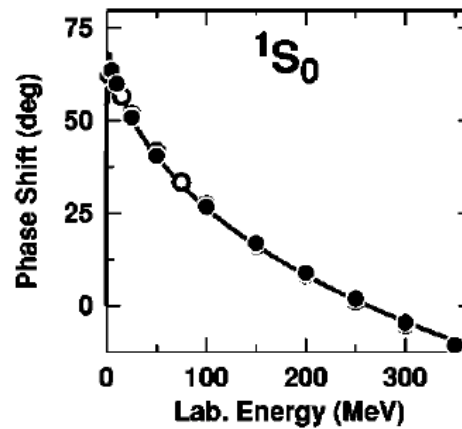
R. Machleidt,
PRC63, 024001('01)

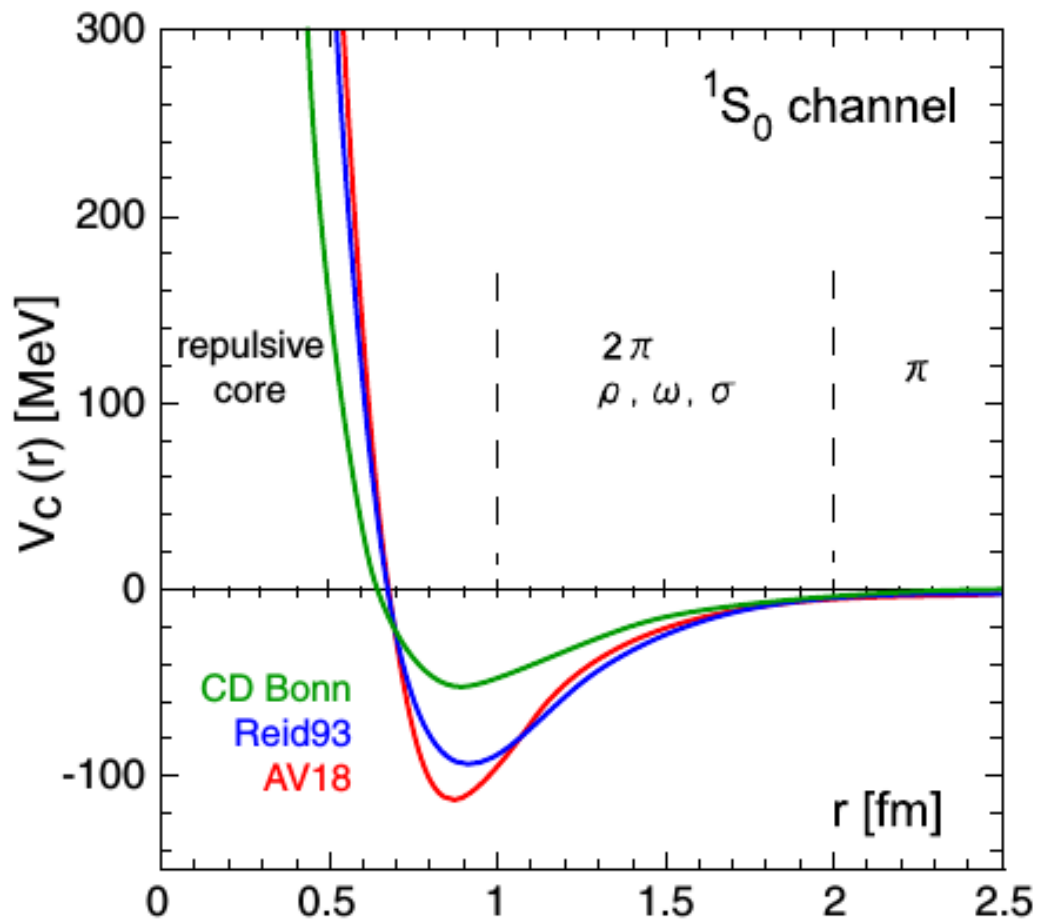
ノーテーション

$$2S+1L_J$$

| $S \setminus T$ | 0 | 1 |
|-----------------|---------|---------|
| 0 | 1O | 1E |
| 1 | 3E | 3O |

強いスピン・アイソスピン
依存性





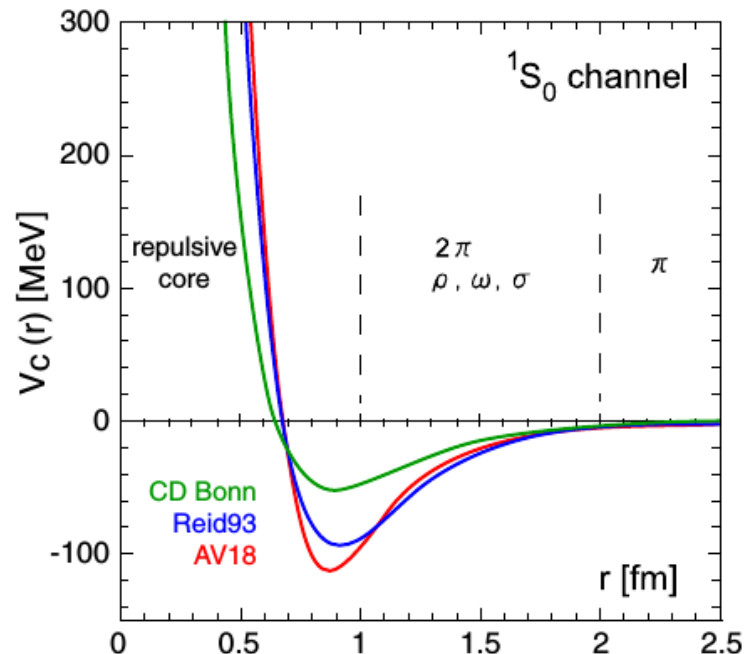
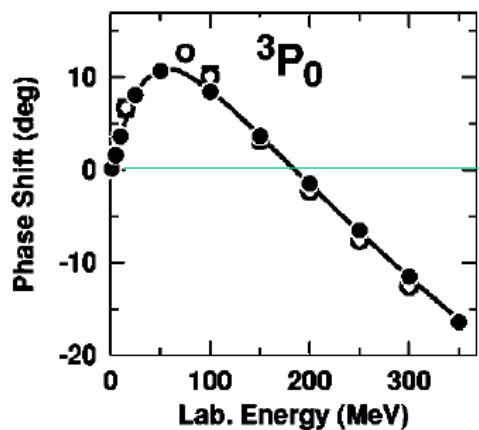
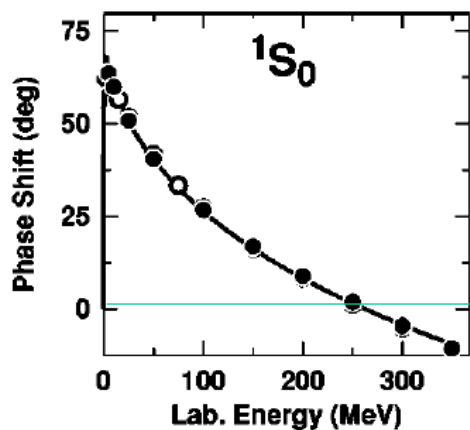
N. Ishii, S. Aoki, and T. Hatsuda,
PRL99, 022001 (2007)

強いスピン・アイソスピン依存性:

$$V_C(r) = V_0(r) + V_\sigma(r)\sigma_1 \cdot \sigma_2 + V_\tau(r)\tau_1 \cdot \tau_2 \\ + V_{\sigma\tau}(r)(\sigma_1 \cdot \sigma_2)(\tau_1 \cdot \tau_2)$$

+テンソル力、スピン軌道力、など

核力の斥力芯



位相のずれ:

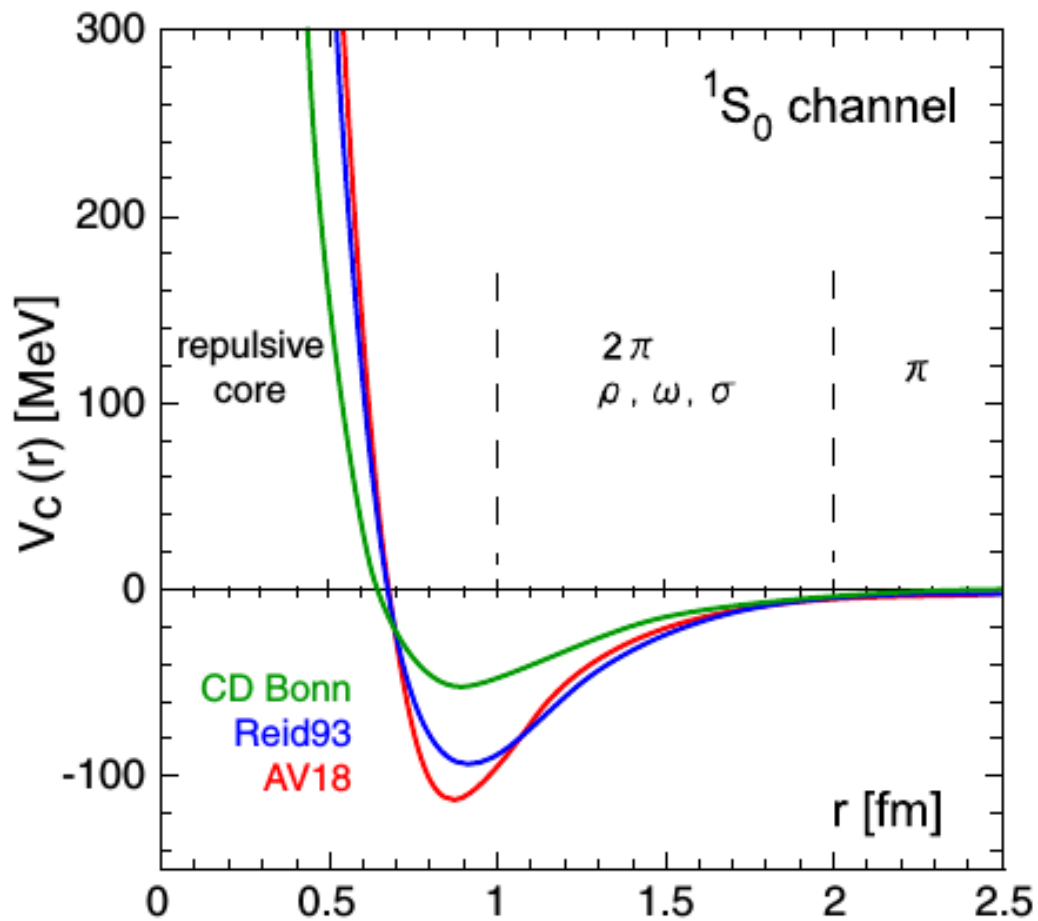
正 (低エネルギー) \rightarrow 負 (高エネルギー)

$$\delta_l \sim -\frac{2mk}{\hbar^2} \int_0^\infty r^2 dr V(r) j_l(kr)^2$$

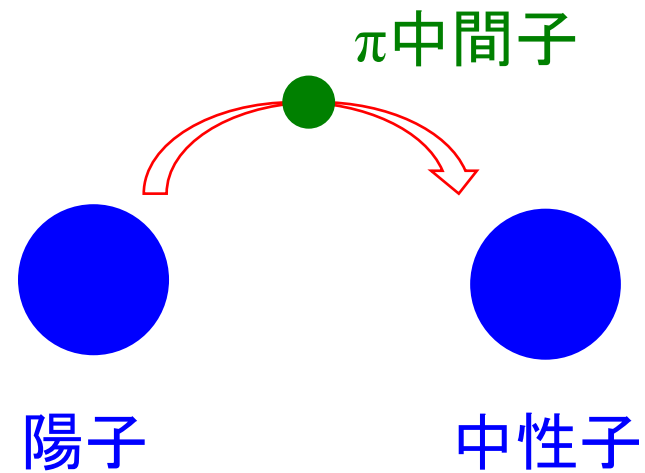
斥力芯 \rightarrow 原子核の飽和性

斥力芯の起源

- クォーク間のパウリ原理
- グルーオン交換力 (color magnetic interaction)



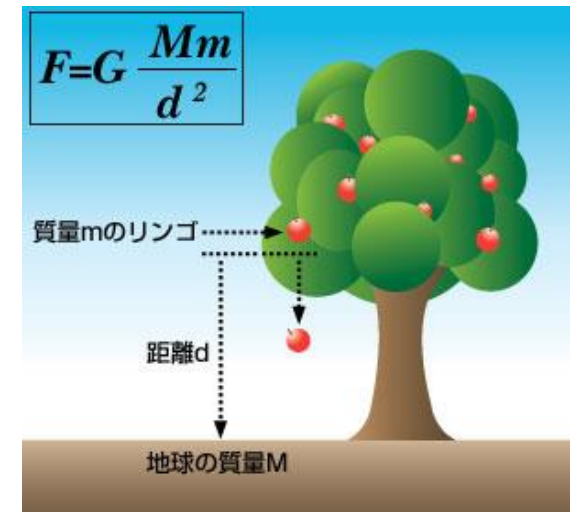
湯川秀樹



湯川秀樹は何をした人なのか？

4つの力

- 重力(万有引力)
- 電磁気力(電気や磁石の力)
- 強い力(原子核の力)
- 弱い力(ニュートリノが関係する力)



JAXAのページより

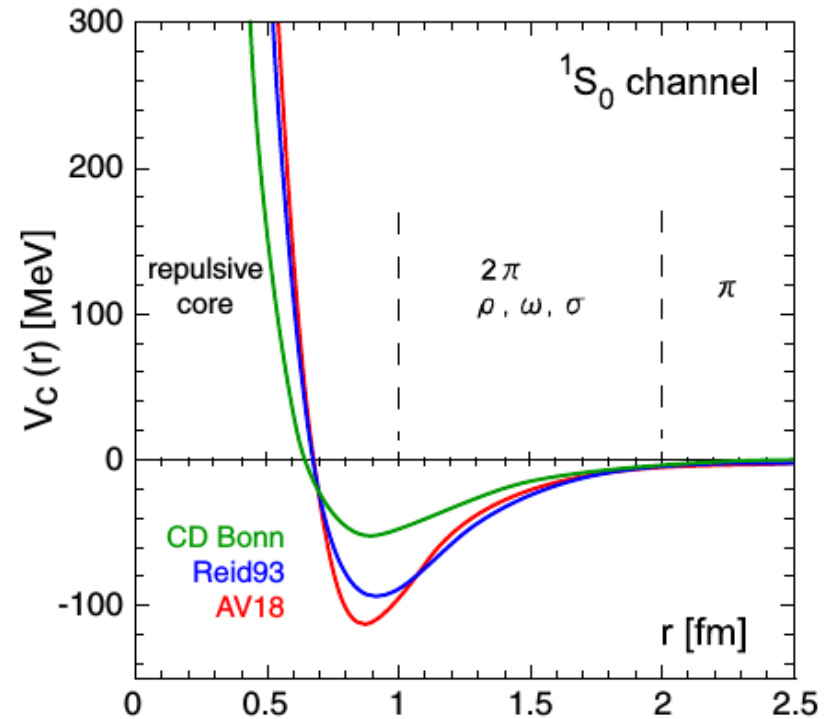


Wikipedia

湯川秀樹は何をした人なのか？

4つの力

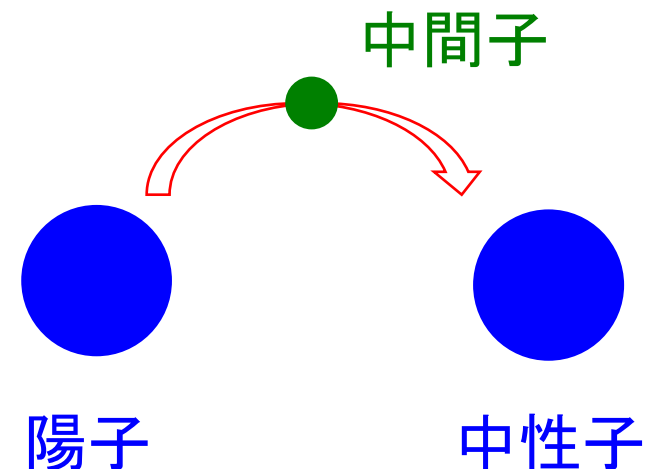
- 重力 ニュートン
- 電磁気力 マクスウェル
- • **強い力** **湯川**
- 弱い力 フェルミ



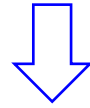
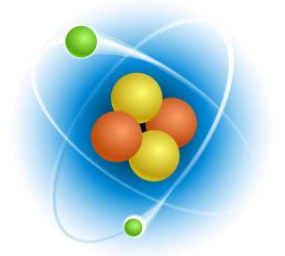
Wikipedia

□ 「強い力」を解明し、
「中間子論」を提唱。
(1935年 昭和10年)

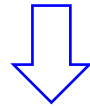
□ 1949年日本初の
ノーベル賞受賞



「元素」の正体は「原子」

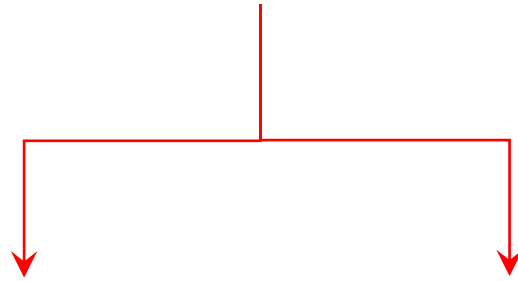


「原子」にも中身がある: 電子と原子核 (1911年)



原子核がなぜ存在しているのかというのが謎だった
(当時はまだ重力と電磁気力しか分かっていなかった)。

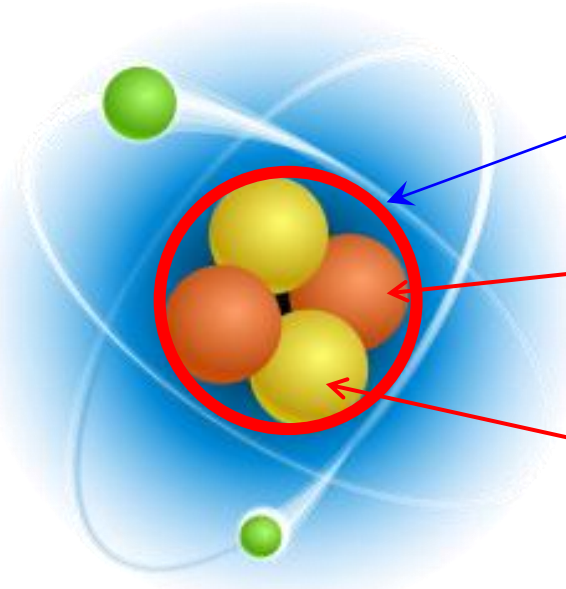
湯川秀樹はこれを解明(1935年)。



素粒子
物理学

原子核
物理学

湯川秀樹は素粒子物理学・原子核物理学を開拓した人



原子核

陽子
プラスの電気

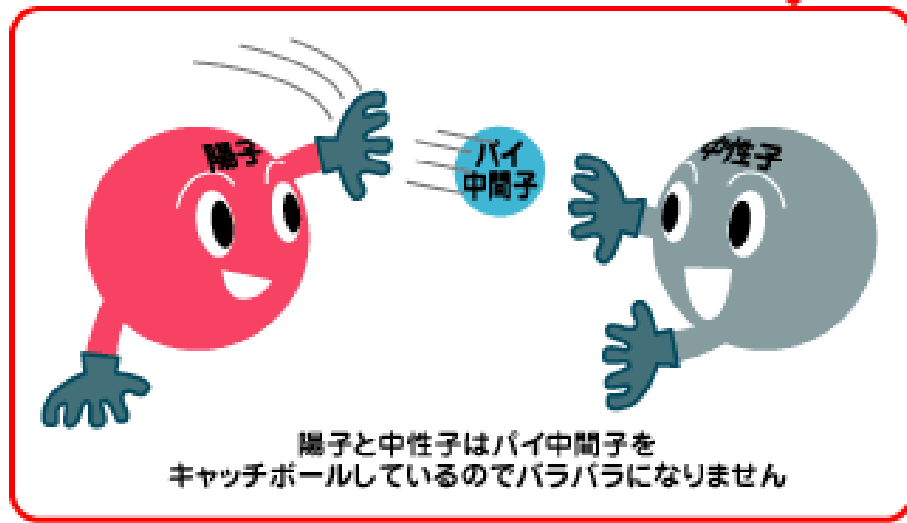
中性子
電気なし

湯川秀樹が挑戦した謎

どうやって原子核のような小さな場所に陽子を閉じ込めておけるのか？

十の電気と十の電気は反発。距離が近ければ近いほど反発力は大きい。



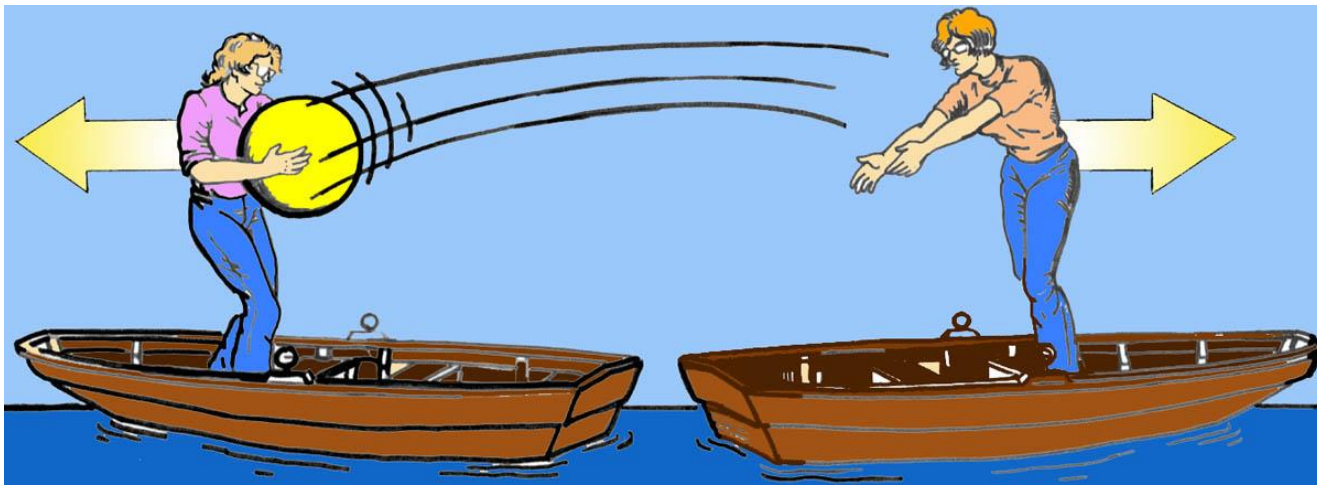


国立科学博物館の図より

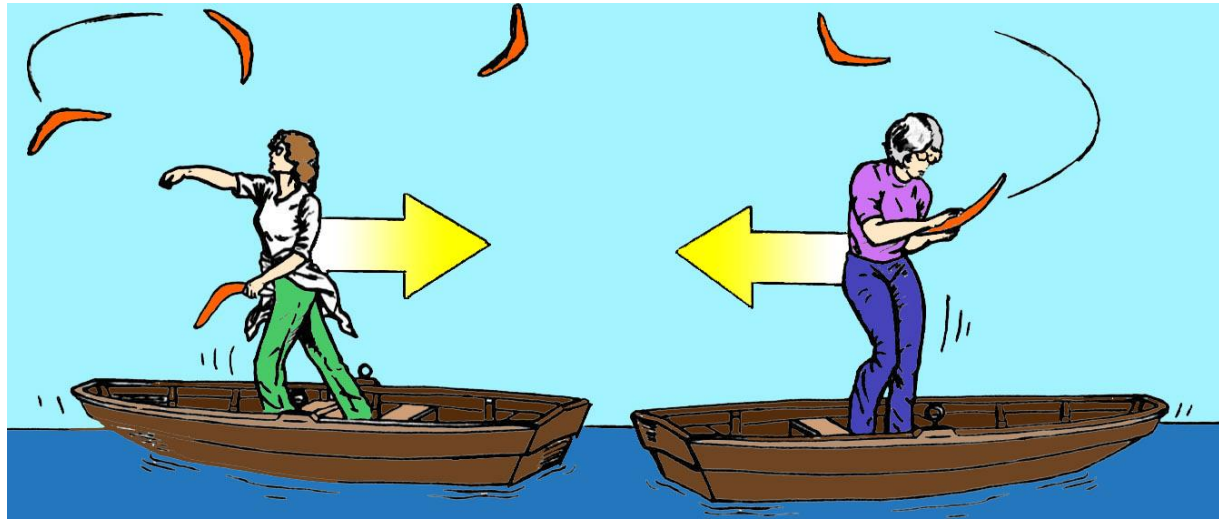
湯川秀樹の答え(1935年)

- ✓ 電気の力とは全く違う力
- ✓ 新しい粒子「中間子」をキャッチボール
→原子核がバラバラにならない。

宇宙を作っている一番元の力がわかった！



https://www.fnal.gov/pub/today/archive/archive_2013/images/NS130315_Figure01.jpg



<https://makemephy.wordpress.com/2013/10/10/exchange-particles-and-feynman-diagrams/>

中間子はその後、実在が確かめられた(1947年、パウエル)
→湯川秀樹ノーベル賞受賞 (1949年)

中間子交換ポテンシャル

(準備)

電荷密度 ρ による静電場(スカラーポテンシャル)

$$\phi(\mathbf{r}) = \int d\mathbf{r}' \frac{\rho(\mathbf{r}')}{|\mathbf{r} - \mathbf{r}'|}$$

$$\rho(\mathbf{r}') = q'\delta(\mathbf{r}') \rightarrow \phi(r) = \frac{q'}{r}$$

位置 r における静電ポテンシャル:

$$V(r) = q\phi(r) = \frac{qq'}{r}$$

ポアソン方程式:
$$\nabla^2 \phi(\mathbf{r}) = -4\pi\rho(\mathbf{r})$$

中間子交換ポテンシャル

拡張(スカラー場の場合)

電磁場の方程式: $\nabla^2 \phi(\mathbf{r}) = -4\pi\rho(\mathbf{r})$

$\rightarrow (\nabla^2 - k^2)\phi(\mathbf{r}) = 4\pi f\rho(\mathbf{r})$ (湯川による拡張)

この解は、

$$\phi(\mathbf{r}) = -f \int d\mathbf{r}' \frac{\exp(-k|\mathbf{r} - \mathbf{r}'|)}{|\mathbf{r} - \mathbf{r}'|} \rho(\mathbf{r}')$$

点粒子であれば

$$\rho(\mathbf{r}') = \delta(\mathbf{r}') \rightarrow \phi(r) = -f \frac{e^{-kr}}{r}$$

(湯川関数)

Klein-Gordon方程式

$$E^2 = m^2 c^4 + p^2 c^2$$

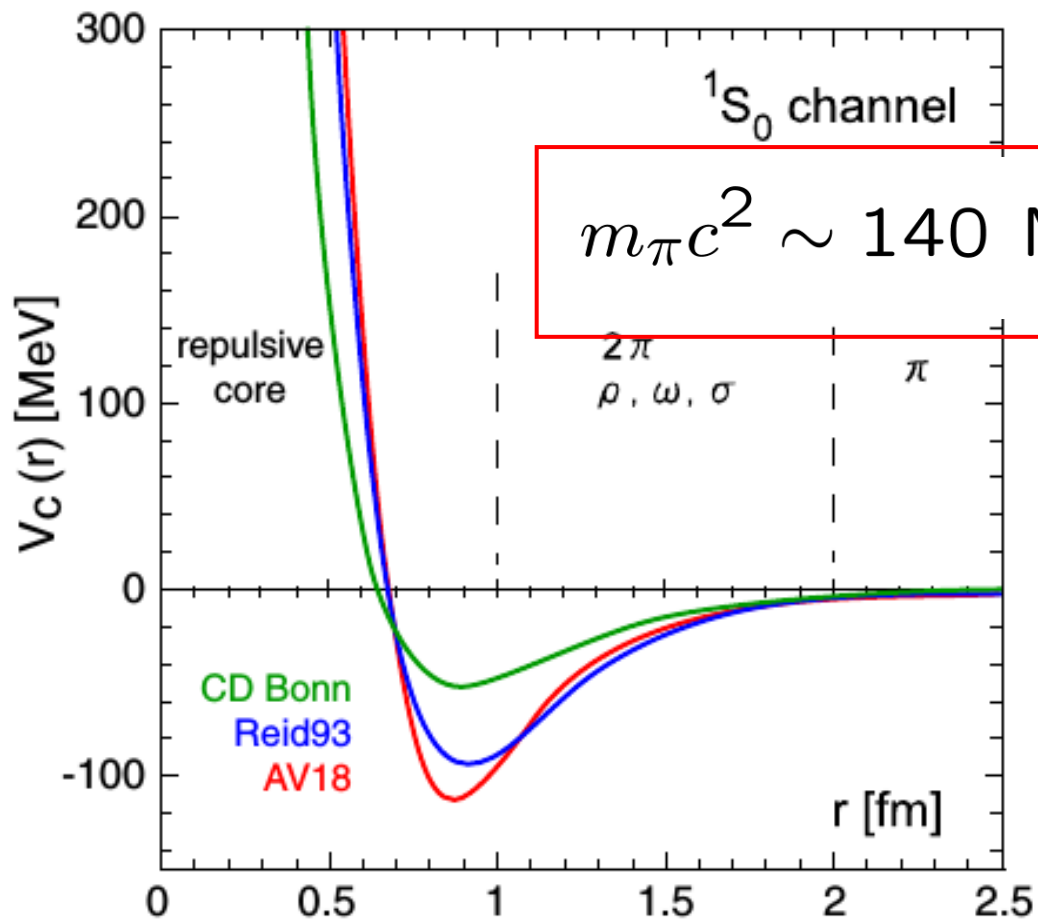
$$E \rightarrow i\hbar \frac{\partial}{\partial t}, \quad \mathbf{p} \rightarrow \frac{\hbar}{i} \nabla \quad \text{とすると、}$$

$$\left(\nabla^2 - \frac{m^2 c^2}{\hbar^2} \right) \phi(\mathbf{r}) = \frac{1}{c^2} \frac{\partial^2 \phi}{\partial t^2}$$

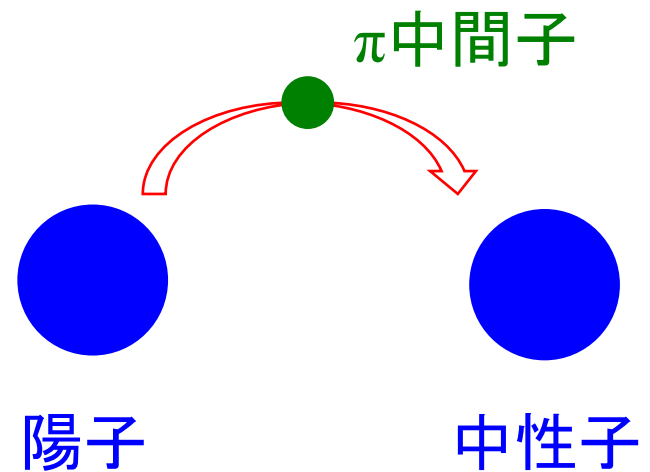
$$\rightarrow k = \frac{mc}{\hbar} \quad \phi(r) = -f \frac{e^{-kr}}{r}$$

$$\text{核力の到達距離: } R = k^{-1} = \frac{\hbar}{mc}$$

$$\begin{aligned} \text{(不確定性原理)} \quad \Delta E \sim mc^2 &\rightarrow \Delta t \sim \frac{\hbar}{\Delta E} = \frac{\hbar}{mc^2} \\ &\rightarrow R \sim c\Delta t \sim \frac{\hbar}{mc} \end{aligned}$$



$$m_\pi c^2 \sim 140 \text{ MeV} \rightarrow \frac{\hbar}{m_\pi c} \sim 1.4 \text{ fm}$$



パイオンは軽い

- ✓ 南部陽一郎 (NJL模型) 1961年
- ✓ 村山齊 (QCD)

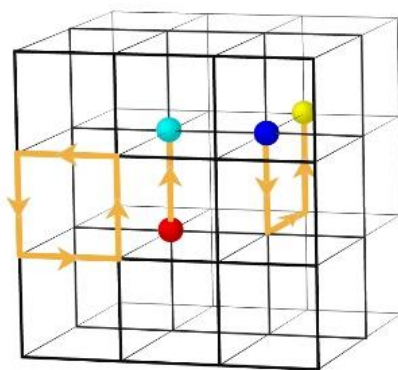
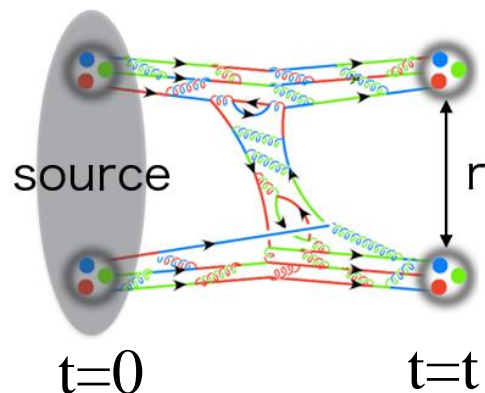
H. Murayama, PRL126 ('21) 251601

格子QCDによる核力

N. Ishii, S. Aoki, and T. Hatsuda,
Phys. Rev. Lett. 99 (2007) 022001

ベーテ・サルピータ振幅

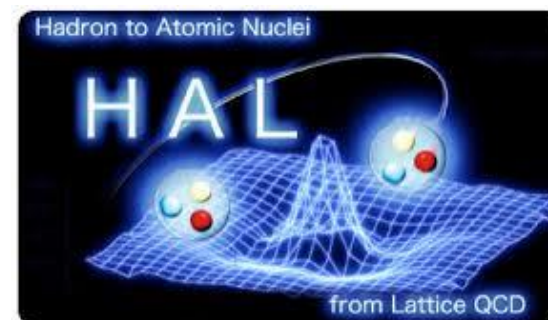
$$G_{NN}(\mathbf{r}, t) = \langle 0 | N(\mathbf{r}, t) N(\mathbf{0}, t) | \overline{J_{\text{src}}(t=0)} | 0 \rangle$$



$$-\frac{\hbar^2}{2\mu} \nabla^2 \psi(\mathbf{r}) + V(r) \psi(\mathbf{r}) = E \psi(\mathbf{r})$$

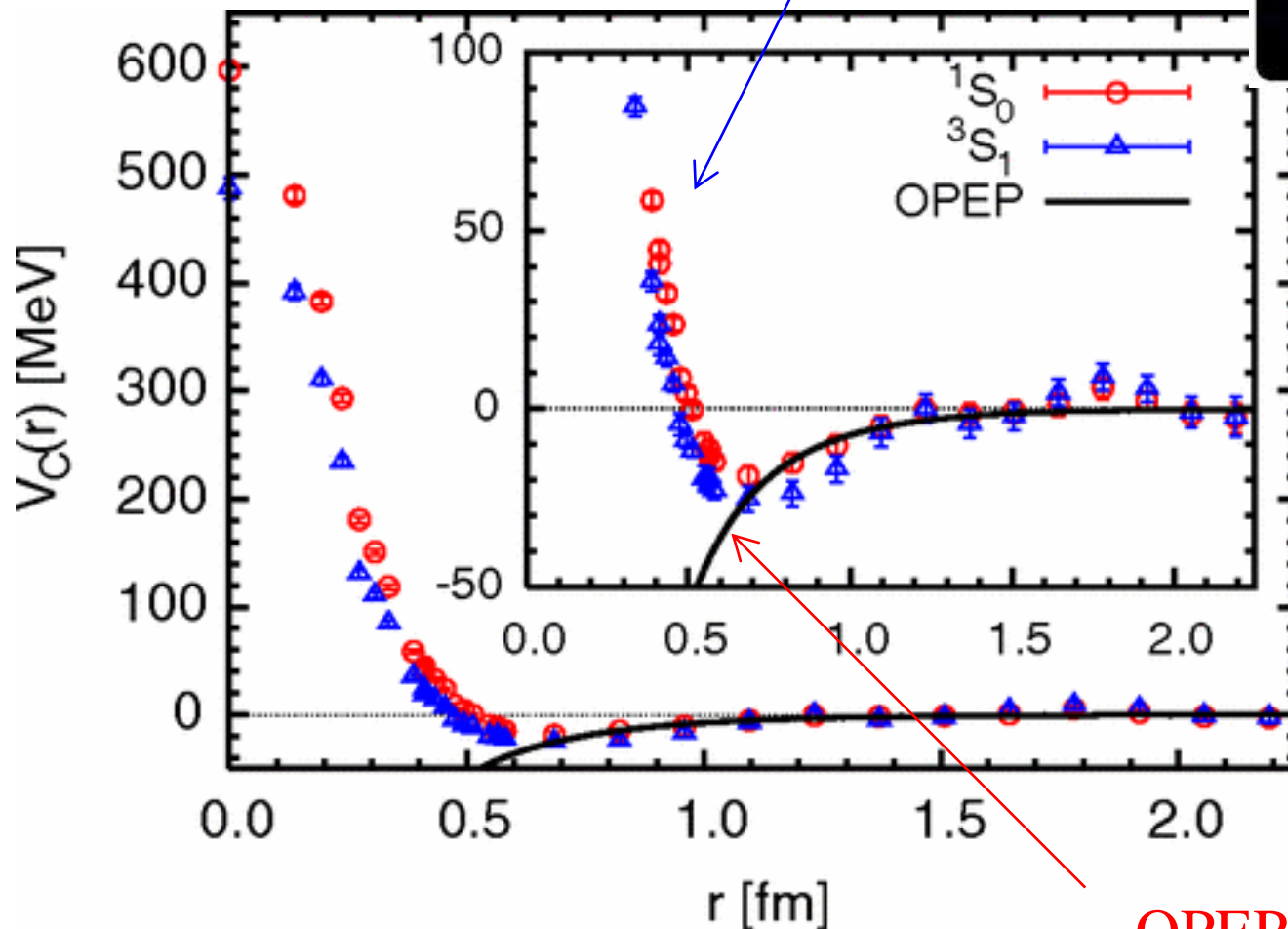
$$\psi(\mathbf{r}) \equiv \lim_{t \rightarrow \infty} G_{NN}(\mathbf{r}, t)$$

を仮定してポテンシャル V を
求める

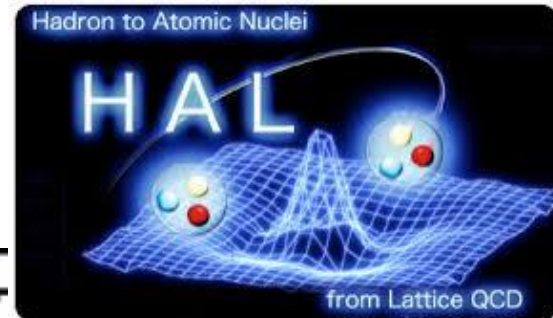


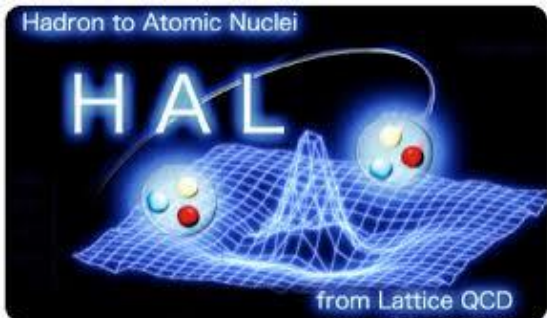
格子QCDによる核力

斥力芯



OPEP

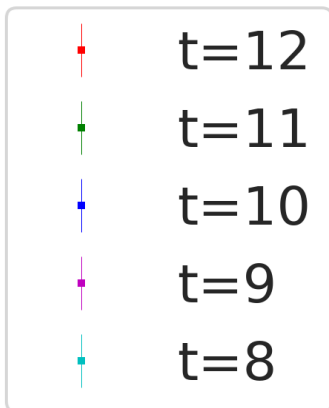
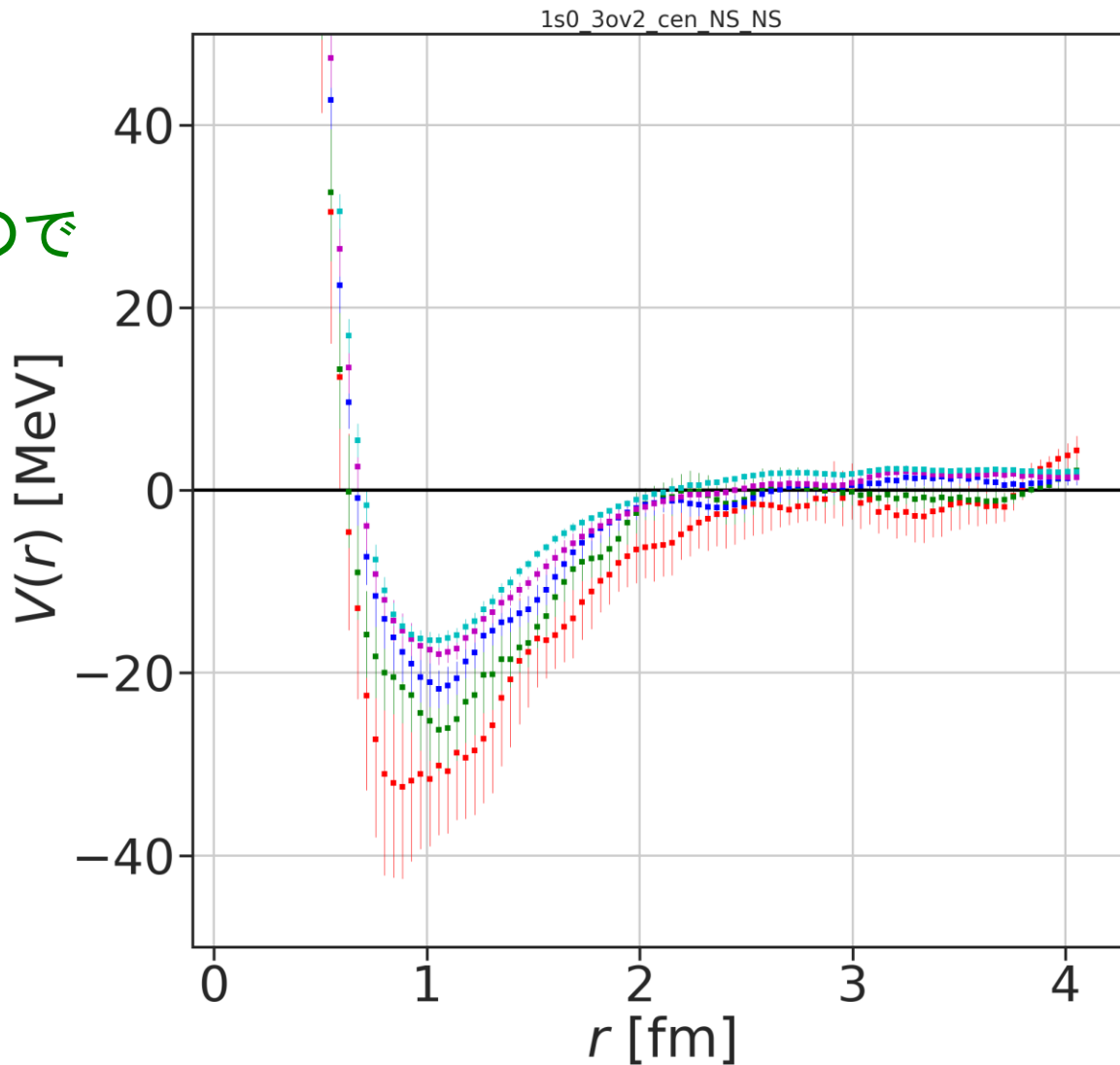




最近の進展

$N\Lambda$ ポテンシャル(土居 et al.)

$N\Lambda$ と $N\Sigma$ の結合があるので
難しいケース



One-pion exchange potential (OPEP)

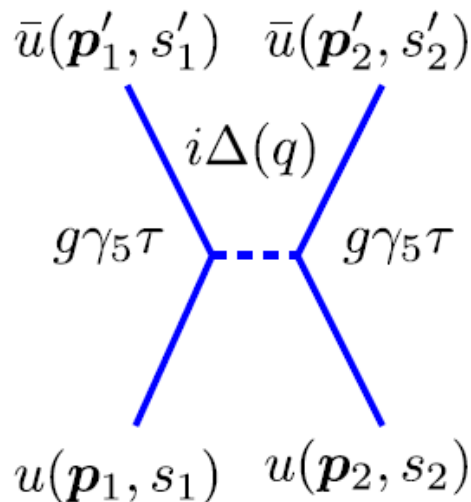
パイ中間子: アイソベクトル (π^0, π^+, π^-)、擬スカラー(負パリティ)

$$\rightarrow \mathcal{L}_{\pi NN} = -g\bar{N}i\gamma_5\boldsymbol{\tau} \cdot \boldsymbol{\pi}N$$

これを基にポテンシャルを求めると、

$$V(\boldsymbol{r}) = -\frac{g^2}{4\pi}(\boldsymbol{\tau}_1 \cdot \boldsymbol{\tau}_2)(\boldsymbol{\sigma}_1 \cdot \boldsymbol{\nabla})(\boldsymbol{\sigma}_2 \cdot \boldsymbol{\nabla})\frac{e^{-\mu r}}{r}$$

$$\mu = m_\pi c/\hbar$$



*詳細は、

A. Obertelli and H. Sagawa,
“Modern Nuclear Physics”
(Springer)

などを参照のこと

One-pion exchange potential (OPEP)

$$\begin{aligned} V(\mathbf{r}) &= -\frac{g^2}{4\pi}(\boldsymbol{\tau}_1 \cdot \boldsymbol{\tau}_2)(\boldsymbol{\sigma}_1 \cdot \nabla)(\boldsymbol{\sigma}_2 \cdot \nabla)\frac{e^{-\mu r}}{r} \\ &= \frac{g^2}{4\pi}(\boldsymbol{\tau}_1 \cdot \boldsymbol{\tau}_2) \left[((\boldsymbol{\sigma}_1 \cdot \boldsymbol{\sigma}_2) + S_{12}Y_T(\mu r)) \frac{\mu^2 e^{-\mu r}}{3} \frac{1}{r} \right. \\ &\quad \left. - \frac{4\pi}{3}(\boldsymbol{\sigma}_1 \cdot \boldsymbol{\sigma}_2)\delta(\mathbf{r}) \right] \end{aligned}$$

$$S_{12} = \frac{3(\boldsymbol{\sigma}_1 \cdot \mathbf{r})(\boldsymbol{\sigma}_2 \cdot \mathbf{r})}{r^2} - (\boldsymbol{\sigma}_1 \cdot \boldsymbol{\sigma}_2)$$

$$Y_T(\mu r) = \left(1 + \frac{3}{\mu r} + \frac{3}{\mu^2 r^2} \right)$$

テンソル力

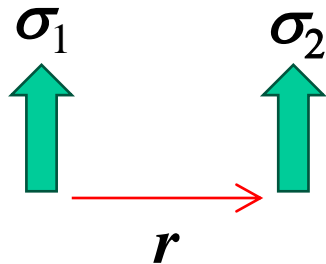
$$S_{12} = \frac{3(\boldsymbol{\sigma}_1 \cdot \boldsymbol{r})(\boldsymbol{\sigma}_2 \cdot \boldsymbol{r})}{r^2} - (\boldsymbol{\sigma}_1 \cdot \boldsymbol{\sigma}_2)$$

$$\boldsymbol{S} = \boldsymbol{s}_1 + \boldsymbol{s}_2 = \frac{\hbar}{2}\boldsymbol{\sigma}_1 + \frac{\hbar}{2}\boldsymbol{\sigma}_2 \quad \text{を用いると}$$

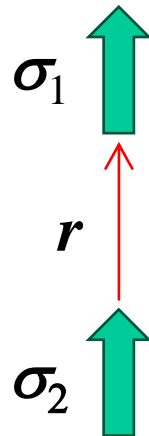
$$S_{12} = \frac{2}{\hbar^2} \left[\frac{3(\boldsymbol{S} \cdot \boldsymbol{r})^2}{r^2} - (\boldsymbol{S})^2 \right] \quad \text{と書き直すことができる。}$$

→ $S=0$ ではゼロになる

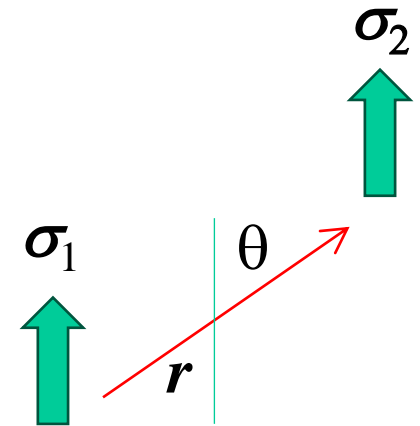
古典的には:



$$S_{12} = -1$$

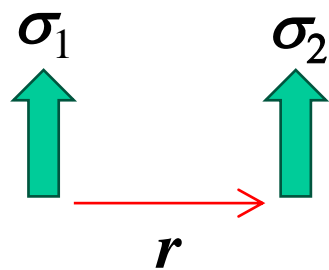


$$S_{12} = 2$$

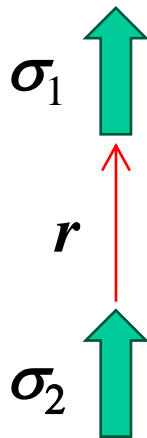


$$S_{12} = 3\cos^2\theta - 1 \sim Y_{20}(\theta)$$

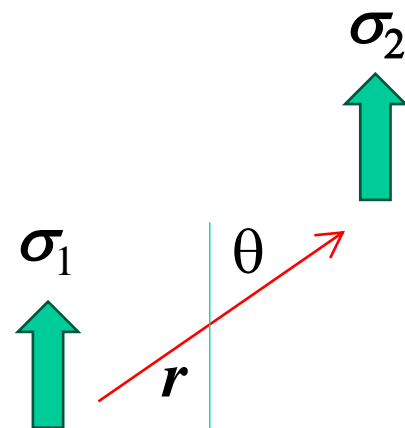
古典的には:



$$S_{12} = -1$$



$$S_{12} = 2$$



$$S_{12} = 3\cos^2\theta - 1 \sim Y_{20}(\theta)$$

量的には:

$$S_{12} = \frac{3(\boldsymbol{\sigma}_1 \cdot \boldsymbol{r})(\boldsymbol{\sigma}_2 \cdot \boldsymbol{r})}{r^2} - (\boldsymbol{\sigma}_1 \cdot \boldsymbol{\sigma}_2)$$

$$= 3[[\hat{\boldsymbol{r}}\hat{\boldsymbol{r}}]^{(2)}[\boldsymbol{\sigma}_1\boldsymbol{\sigma}_2]^{(2)}]^{(00)}$$

$$[\hat{\boldsymbol{r}}\hat{\boldsymbol{r}}]^{(2M)} = \sum_{m,m'} \langle 1m1m'|2M \rangle \hat{\boldsymbol{r}}_m \hat{\boldsymbol{r}}_{m'} \quad \text{など}$$

テンソル力

$$S_{12} = \frac{3(\boldsymbol{\sigma}_1 \cdot \boldsymbol{r})(\boldsymbol{\sigma}_2 \cdot \boldsymbol{r})}{r^2} - (\boldsymbol{\sigma}_1 \cdot \boldsymbol{\sigma}_2)$$

→ $S=0$ ではゼロになる

- ・重陽子 ($S=1$) が束縛し、 nn ($S=0$) が束縛しない理由
- ・重陽子のD波成分(四重極モーメント)の説明(4%程度のD波成分)

